

II-82 混成防波堤マウンドの洗掘実験

北海道開発局土木試験所 正員 近藤 徹郎

目的 混成防波堤は我が国でもっとも多く採用されている防波堤型式であり、その構造は不透過な直立部(ブロック積、ケイソンなど)とそれらを支持する基礎としての石積のマウンドがらなつてゐるのが通例である。この基礎マウンドへの波の作用に関する研究はこれまでをわめて少なく、従来この部分の設計にあつては欧米諸国に例の多い石積の傾斜堤に関する研究成果をそのまま洋用して来た。

たとえばこの基礎マウンドの表層に用いる石の安定重量については、ごく最近 Brebner と Donnelly¹⁾ の実験による計算図表が発表されてゐるが、これまでは傾斜堤を対象として Iribarren の改良公式(1952)、Hudson 公式(1959)を用いて設計されてゐたし、それ以前は設計者の経験と勘に頼ることが多かつた。

このような理由もあつて北海道開発局老老部²⁾が所管の港灣について建設後の経過年数65年以下の防波堤を対象として調査した結果、そのほとんどの基礎マウンドがかなり洗掘されてゐることが知られた。

この研究は作用する波に対して石の重量が不足してゐる、すなはち安定限界重量以下で移動するよふな場合を問題としてとりあげ、その際にマウンドの原地形が場地的、断向的にどのような変形をするか2次元の実験をおこなつて調べたことである。こゝでは底勾配から一様水深の固定床の上に設置した防波堤に非碎波が作用する場合を扱つてゐる。

実験方法 0.8×1.0×19(m)の2次元造波水路の起波板から12mの位置に図-1に示した防波堤模型を設置した。基礎マウンドは比重 S_r が2.65、平均粒径 D が1.5 cm(篩目寸法10~20 mmのもの)の丸味のある砂利で作製した。サンプリングによる石の重量 W_r は25~10 grで平均重量は5.3 grであつた。防波堤形状および水深は図-1に示したものに固定し、波高 H が10, 15, 20 cm, 周期 T が1.25, 1.8, 2.6 sec.の組合せからなる実験波を用いた。マウンドの断面地形は水路の中に着て一つの垂直面が切った線形で代表させることにし、その線上に直立堤脚から法尻にわたる区間の等間隔に設けられた7個の測点について水深測量をおこなつて定めた。いま x, y 軸を図-2に示すように原長を直立部堤脚下の固定床上にとつた座標系を採用するならば、波がその時向作用しつた後の x におけるマウンド地形高 y の原地形高 $y_{t=0}$ からの変位は $\Delta y = (y - y_{t=0})$ で表わすことができる。 Δy の正は堆積高、負は洗掘量を示すことになる。

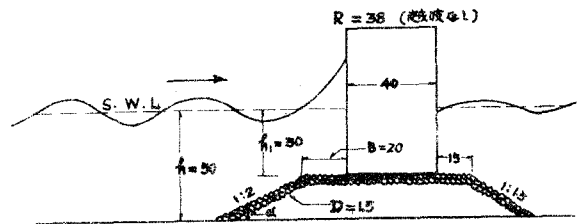


図-1 実験防波堤断面図 (単位cm)

結果と考察 基礎マウンドの形状が作用時向とともへどのような変形してゆくか、その例を図-2に示す。同図からマウンド天端部と斜面部から原地形の屈曲部とそれより少し下部の斜面上部付近で洗掘が著しく、法尻付近の斜面下部に堆積がおこることが知られる。波数 τ の増加にもともつて洗掘(堆積量)ははるかに増大し、洗掘箇所も堤脚部方向に進む傾向が知られてゐる。直立堤脚部分も洗掘されるはいるがその量は屈曲部付近に比べるとかなり小さい。いま図-1に示したよふな混成防波堤の基礎マウンドについての地形高の変形量 Δy は、2次元として扱うならば粘性の効果を著明して次

のように変換元の関数としてあらわされる。

$$\frac{\Delta y}{H} = f_1\left(\frac{H}{L}, \frac{h}{H}, \frac{D}{H}, \frac{x}{B}, \frac{h_1}{h}, \frac{B}{h}, \frac{R}{H}, S, \alpha, \Delta, \Omega, \frac{t}{T}\right) \quad \text{----- (1)}$$

上式における記号のうち、 L は水深 h における波長、 Δ は石の形状とあらわす係数、 Ω は石の組成とあらわす係数である。防波堤構造が一定で波の諸元と t/T のみが変った本実験の場合には(1)式は次のように簡略化できる。

$$\frac{\Delta y}{H} = f_2\left(\frac{H}{L}, \frac{h}{H}, \frac{D}{H}, \frac{x}{B}, \frac{t}{T}\right) \quad \text{----- (2)}$$

これらの式において D/H は Stability Number $N_s = \frac{1}{2} \frac{h}{H} \frac{W}{\gamma_s}$ と入れ替えることができる。

図-3は $\Delta y/H$ と x/B について t/T をパラメータとしてあらわしたもので、 $H=15\text{cm}$ とし3種の T についてのものをかかげてある。

この場合 W_r として最小重量 2.5gr を用いて計算した N_s 値は $N_s=9$ であり、Imbattenの改良公式において仮想波高を用いる場合の値とほぼ等しい。なおBrebnerらのグラフによる N_s 値は上値の約 $1/3$ である。図-3には既述の洗掘、堆積の場所的特性が明らかになりおれまわすが、 x/B の各点における $|\Delta y/H|$ は必ずしも t/T とともに増大している。これは個々の石に作用する波力は洗掘、堆積のいずれをももたらす働きをすることによって考えられる。マウンド全体についての $(\Delta y/H)_{\min}$ はいずれの T についてもほぼ -0.1 程度で H/L による効果は少ないが洗掘面積は、 H/L の大きい波ほど大きくなり傾向がみられる。 $(\Delta y/H)_{\min}$ に及ぼす t/T の効果は t/T が小さい領域で著しいが、 $t/T=50$ と 100 の場合とではこの値はほぼ等しくなり傾向がある。

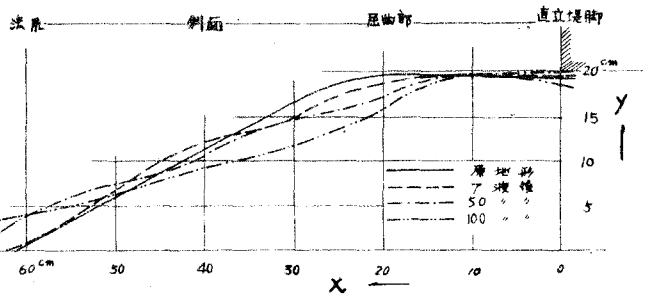


図-2 マウンドの洗掘状況 ($T=1.25\text{sec}$, $H=20\text{cm}$)

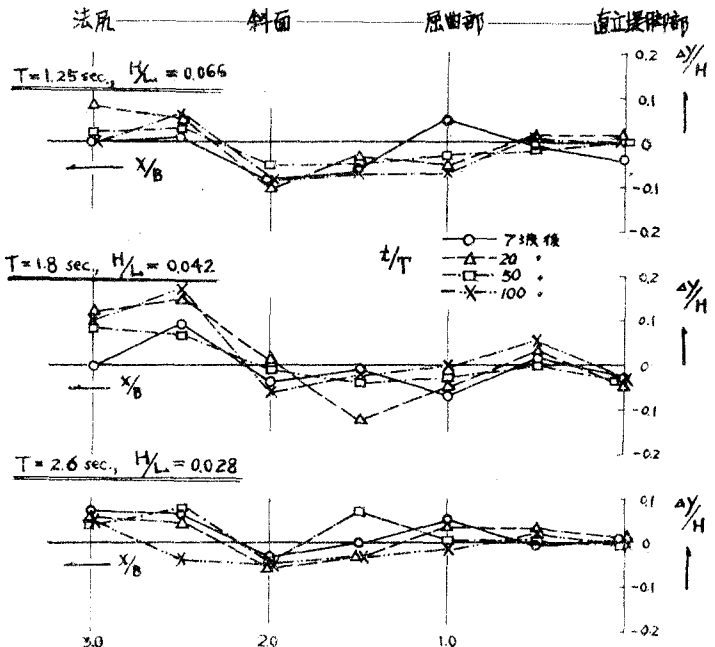


図-3 マウンドの各位置における洗掘(堆積)高 ($H=15\text{cm}$)

1) Brebner A. and P. Donnelly; Laboratory Study of Rectangular Foundations for Vertical Breakwater, Proc. of 8th Conference on Coastal Engng. pp. 408-429, 1963
 2) 北海道庁建設部; 防波堤の洗掘防止工法について, 第16回函館港湾技術研究会資料 昭40.11月